

鹿児島高専
正会員 村田秀一
鹿児島高専
正会員 原口誠夫
鹿児島高専
学生員 南大津等

1. まえがき

乱さないシラスの強度は場所および成因や密度の大小によってかなり差がある。そのセン断特性については筆者の一人が前に報告した。本報は強度の異なる代表的な三ヶ所の乱さないシラス供試体を用いて自然含水比の状態で三軸圧縮試験を行なって、その応力・変形特性について報告する。

2. 試験結果と考察

試験に用いた三ヶ所のシラスの指數的性質を表-1に示す。図-1はそれぞれの試料の自然含水状態での応力-ひずみ曲線である。また図-2は拘束圧と軸差応力との関係を示した。ピーク時の強度($\sigma_{p}-\sigma_3$)_pと定常セン断強度($\sigma_{p}-\sigma_3$)_uの差はかなり大きく現われている。これは乱さないシラスの持つ固結効果とインターロッキング効果に起因することは前に報告した。

図-2において国分シラスはその差が著しい。これより国分シラスは引張強度を持っている供試体であり、固結効果を大きく評価できるシラスであることがわかる。牧園シラスにおいては、引張強度の測定は不能であった。(ほとんど無視できる) 図-3にピーク時のヒズミ ϵ_p と拘束圧 σ_3 との関係を示した。強度の大きい国分シラスの場合が ϵ_p は小さいという興味深い結果が得られた。また拘束圧の増加とともに ϵ_p は大きくなる。このように、固結効果の大きいシラスがよりせい性的であるといえる。乱さないシラスにおける強度定数C, φはモールクーロンの破壊基準に従って求められているのが現状である。見かけの粘着力Cの性質は粘性土とは異なると考えられ、ただ単に軸切片の値として求めている。図-4は各ヒズミに対するCとφのモビライズされる様子を示した。Cはヒズミの初期の段階においてかなり大きいピークを示し、その後は負の値をも示す。φはヒズミの進行とともに徐々に増加し、その後、幾分低下するにすぎない。

このことはマサ土における結果と同様である。このことは变形特性を無視してモールクーロンの圖化をするため生ずると考えられる。つまり低拘束圧時と高拘束圧時との同じヒズミを比較すれば、前者

採取地	国分市	姶良町	牧園町
G_s	2.57	2.39	2.52
$W_{at}(\%)$	21.9	19.7	24.7
$\gamma'_t (\text{kg/cm}^3)$	1.632	1.517	1.368
$\gamma'_d (\text{kg/cm}^3)$	1.339	1.267	1.097
e	0.919	0.866	1.273

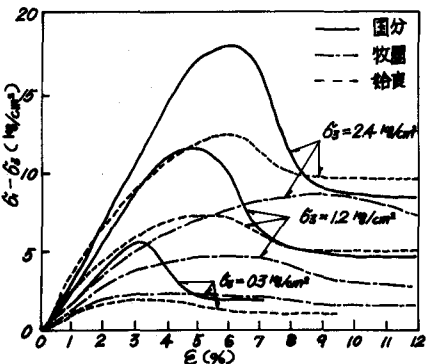


図-1 三軸圧縮試験結果

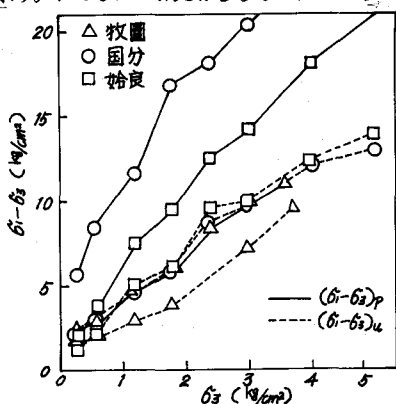


図-2 拘束圧と軸差応力との関係

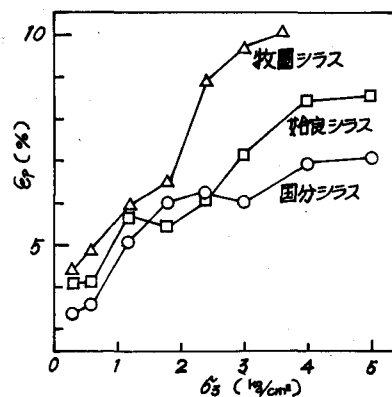


図-3 拘束圧とPeak時のヒズミ

はヒズミの小さい時にピークを示し、後者はかなりヒズミが進まないとピークを示さない。従って、あるヒズミにおける応力を考えれば、そのヒズミ度合が違い、一方はピーク前、他方はピーク後の応力を用いて、 C ・ ϕ を決定している。

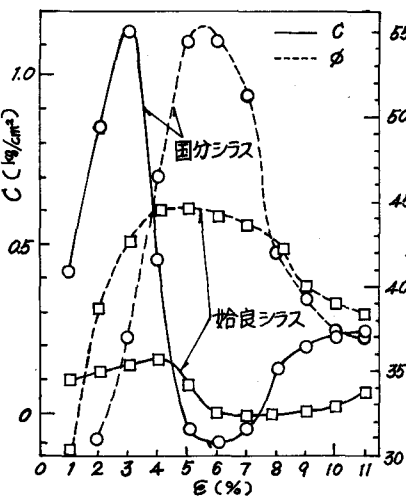


図-4 ヒズミと C および ϕ の関係

ことになる。従ってヒズミの初期においては、 C が大きく評価され、その後、負の値をも示すと考えられる。逆に ϕ は、後期のヒズミ段階では、小さく評価されると考えられる。従って本報では図-5に示すように、応力のピーク時のヒズミを1と考え、そのヒズミに対応するヒズミ度合を α で表示し、同じヒズミ度合を持つ応力について C 、 ϕ を整理してみた。そのモールクーロンの包絡線を図-6に示し、 α に対する C 、 ϕ の変化を図-7に示した。図-4と比較して、 C のモビライズされる様子が大きく異なることが目視される。つまり、 α の変化に対し、 C の変化は大きな差がない、 $\alpha = 1$ においてそのピークを示している。 ϕ については、図-4に類似し、ヒズミの進行とともに徐々に発揮され $\alpha = 1$ のピーク時以後においては徐々に低下する。このような傾向が他の土においてもいえるのか不明だが、乱さないシラスにおいては、ヒズミ度合を考慮することにより、変形中は、 C の値は正の状態でセン断に寄与していると考えられる。しかし、 C の値は固結効果やインターロッキング効果および粒子形状に起因する項と考えることができるが、その寄与率は論ずることができない。

参考文献

- ① 村田・山内「地山シラスのセン断特性について(オニ報・含水比の影響)」第24回土木学会年次学術講演会 S.44.10
- ② 村田・山内「地山シラスのセン断特性について」第4回学術工学研究発表会 S.44.6
- ③ 内田一郎・林重徳「土の応力・変形特性について」昭和43年土木学会西部支部研究発表会

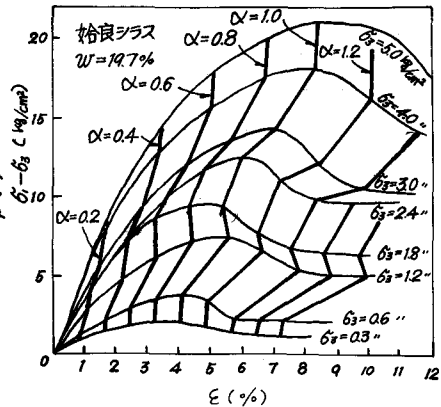


図-5 ヒズミ度合 α の状態

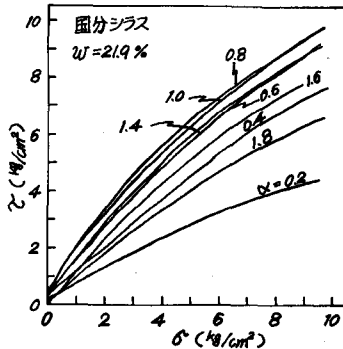


図-6 α に対するモールクロンの包絡線

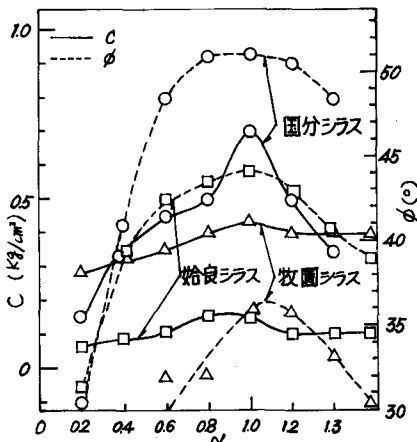


図-7 α と C および ϕ の関係